

## Возникновение силы торможения типа сухого трения при динамическом скольжении краевой дислокации в кристалле, содержащем призматические дислокационные петли

© В.В. Малашенко

Донецкий физико-технический институт НАН Украины,  
Донецк, Украина  
Донецкий национальный технический университет,  
Донецк, Украина  
E-mail: malashenko@fti.dn.ua

(Поступила в Редакцию 5 апреля 2011 г.  
В окончательной редакции 15 апреля 2011 г.)

Исследовано динамическое торможение краевых дислокаций призматическими дислокационными петлями. Показано, что возникновение активации в спектре колебаний движущейся краевой дислокации приводит к возникновению эффекта сухого трения. Численные оценки показывают, что при высокой концентрации петель влияние данного эффекта на динамику дислокаций может быть весьма существенным.

Как известно, пластические свойства кристаллов в значительной степени определяются особенностями движения дислокаций — линейных дефектов кристаллической структуры — и их взаимодействием с другими структурными дефектами. Потенциальные барьеры, созданные такими дефектами, движущаяся дислокация может преодолевать двумя путями в зависимости от скорости своего движения. Медленно движущиеся дислокации останавливаются перед такими барьерами и могут преодолеть их с помощью термических флуктуаций. Возрастание скорости дислокаций приводит к тому, что их кинетическая энергия превосходит высоту энергетических барьеров, создавая условия для динамического преодоления препятствий без участия термических флуктуаций. Это так называемая динамическая область скоростей, нижняя граница которой определяется неравенством  $v \geq 10^{-2}c$ , где  $c$  — скорость распространения поперечных звуковых волн в кристалле [1]. Торможение дислокаций в этой области в значительной степени определяется перекачкой энергии от дислокации к различным элементарным возбуждениям в кристалле, однако при высокой концентрации примесей и других дефектов решетки динамическое взаимодействие дислокации с этими дефектами становится весьма существенным и оказывает значительное влияние на ее подвижность, а также на свойства кристаллов, обусловленные дислокационным движением. Основанные на этом взаимодействии механизмы диссипации являются температурно-независимыми, поэтому их вклад в динамическое торможение возрастает с понижением температуры, когда фононные и магнонные механизмы „вымораживаются“, теряя свою эффективность. При высокой концентрации дефектов их влияние на динамику дислокаций может быть существенным и в области комнатных температур.

Интерес к исследованию движения дислокаций в динамической области в последние годы заметно воз-

рос [2–5], что связано, с одной стороны, с важностью дислокационной динамики для понимания процессов, происходящих в кристаллах в области низких температур [6,7] при высокоскоростном растяжении [8] либо под действием ударных нагрузок [9–11], в частности создаваемых коротковолновым лазерным излучением огромной мощности [12–14], с другой — с интенсивным применением в этой области метода молекулярной динамики [15–17]. Динамическое поведение дислокаций влияет также на формирование свойств металлов при использовании нового перспективного метода сварки — сварки взрывом [18].

Как было отмечено выше, существенное влияние на динамическое движение дислокаций оказывает их взаимодействие со структурными дефектами. Одним из наиболее важных и часто встречающихся типов дефектов кристаллической структуры являются дислокационные петли, которые могут образовываться в кристалле (например, при радиационном облучении материалов [19], отжиге и закалке [20]) и оказывают существенное влияние на скольжение прямолинейных дислокаций, а следовательно, и на механические свойства кристаллов [20,21]. Теоретическому исследованию дислокационных петель посвящено значительное количество работ (см., например, [15,16,22–25]).

Взаимодействие неподвижных дислокационных петель с неподвижными дислокациями детально изучено в монографии [25]. Авторы работы [15] использовали метод дискретной дислокационной динамики для анализа взаимодействия дислокационной сетки с призматической дислокационной петлей. В работах [16,26–28] методами молекулярной динамики исследовалось взаимодействие движущейся краевой дислокации с петлями в железе, меди и  $\alpha$ -цирконии. Вопрос об ориентационной зависимости этого взаимодействия детально проанализирован в работе [29]. Работа [30] посвящена теоретическому

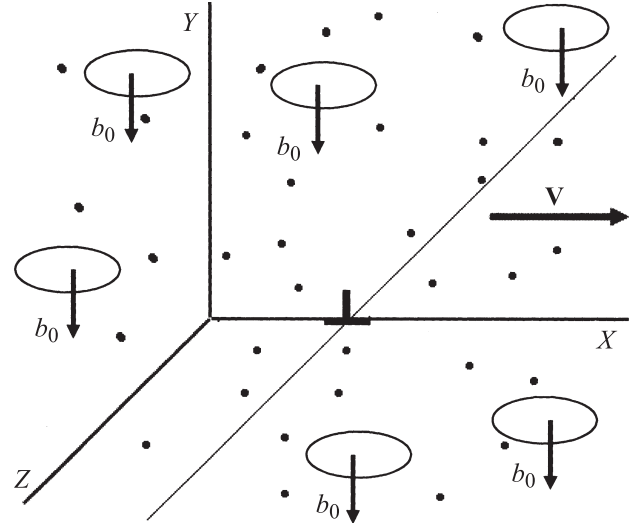
исследованию движения краевой дислокации в упругом поле структурных дефектов различного масштаба: дислокационных петель и точечных дефектов. Было показано, что в этом случае при определенных условиях график зависимости полной силы динамического торможения дислокации может иметь два минимума и два максимума, при этом положение максимумов соответствует максимальному значению торможения каждому из указанных типов дефектов, а минимумы отвечают тем значениям скоростей, при которых происходит переход от доминирования одного типа дефектов к доминированию другого типа. Исследуемый в этой работе механизм диссипации заключался в необратимом переходе кинетической энергии поступательного движения дислокации в энергию ее изгибных колебаний в плоскости скольжения. Как следует из работ [31–33], динамика дислокаций при наличии такого механизма диссипации зависит от вида спектра дислокационных колебаний. В настоящей работе показано, что наличие щели в спектре колебаний дислокации, движущейся в упругом поле круговых дислокационных петель, при определенных условиях приводит к возникновению сухого трения не только в случае, рассмотренном в работе [30], но и в ряде других случаев, в частности при движении в кристалле дислокационной пары при движении одиночной дислокации в приповерхностной области.

Реальные кристаллы обычно содержат два или несколько типов дефектов, влияние которых на скольжение дислокаций определяется их концентрацией и мощностью. Для начала проанализируем случай, исследованный в работе [30], — скольжение дислокаций в упругом поле дефектов, имеющих не только разную размерность, но и разный характерный размер. Речь пойдет о дислокационных петлях и точечных дефектах. Для точечных дефектов характерным масштабом является их радиус, по порядку величины сравнимый с постоянной решетки. Для петель — это радиус петли, который может превышать радиус точечного дефекта на порядок и более.

Пусть бесконечная краевая дислокация совершает скольжение под действием постоянного внешнего напряжения  $\sigma_0$  в положительном направлении оси  $OX$  с постоянной скоростью  $v$  (см. рисунок). Линия дислокации параллельна оси  $OZ$ , вектор Бюргерса дислокации параллелен оси  $OX$ . Плоскость скольжения дислокации совпадает с плоскостью  $XOZ$ , а ее положение определяется функцией

$$X(y = 0, z, t) = vt + w(y = 0, z, t). \quad (1)$$

Плоскости дислокационных петель параллельны плоскости скольжения дислокации, а их центры распределены в кристалле случайным образом. Рассмотрим случай, когда все дислокационные петли являются призматическими. Для простоты все петли будем считать одинаковыми, то есть имеющими одинаковые радиусы, равные  $a$ , и одинаковые векторы Бюргерса  $\mathbf{b}_0 = (0, -b_0, 0)$ , параллельные оси  $OY$ . Уравнение движения дислокации может



Движение краевой дислокации в кристалле, содержащем точечные дефекты и призматические дислокационные петли.

быть представлено в следующем виде:

$$m \left\{ \frac{\partial^2 X}{\partial t^2} - c^2 \frac{\partial^2 X}{\partial z^2} \right\} = b[\sigma_0 + \sigma_{xy}^d + \sigma_{xy}^L] - B \frac{\partial X}{\partial t}, \quad (2)$$

где  $\sigma_{xy}^d$  — компонента тензора напряжений, создаваемых точечными дефектами на линии дислокации,  $\sigma_{xy}^L$  — компонента тензора напряжений, создаваемых на этой линии призматическими петлями,  $B$  — константа демпфирования, обусловленная фононными, магнонными или электронными механизмами диссипации,  $m$  — масса единицы длины дислокации,  $c$  — скорость распространения в кристалле поперечных звуковых волн.

Здесь, как и в работах [29–33], будем считать выполненным условие  $[Bbv/(mc^2)] \ll 1$ , позволяющее пренебречь влиянием константы  $B$  на силу торможения дислокации структурными дефектами.

Сила динамического торможения движущейся краевой дислокации призматическими дислокационными петлями, согласно [30], может быть вычислена по формуле

$$F_L = \frac{n_L b^2}{8\pi^2 m} \int d^3 q |q_x| \cdot |\sigma_{xy}^L(\mathbf{q})|^2 \delta(q_x^2 v^2 - \omega^2(q_z)), \quad (3)$$

где  $\omega(q_z)$  — спектр дислокационных колебаний,  $n_L$  — объемная концентрация петель.

В рассматриваемом нами случае спектр дислокационных колебаний имеет вид

$$\omega^2(q_z) = c^2 q_z^2 + \Delta^2. \quad (4)$$

В работе [30] щель  $\Delta$  в колебательном спектре возникает благодаря коллективному взаимодействию дефектов с дислокацией и, согласно [31], описывается формулой

$$\Delta = \Delta_{\text{def}} = \frac{c}{b} (n_0 a \varepsilon^2)^{1/3} \approx \frac{c}{l_d}, \quad (5)$$

где  $\varepsilon$  — параметр несоответствия дефекта,  $l_d$  — среднее расстояние между точечными дефектами, случайным об-

разом распределенными в объеме кристалла,  $n_{0d}$  — безразмерная концентрация этих дефектов. Наличие щели существенно изменяет характер торможения дислокации петлями, в частности скоростная зависимость этой силы становится немонотонной. После несложных преобразований выражение для искомой силы торможения может быть представлено в виде

$$F_L = \frac{n_L b^2}{4\pi^2 m c v} \int_{-\infty}^{\infty} dq_y \cdot \int_{\frac{a}{b}}^{\infty} dq_x q_x \frac{|\sigma_{xy}^L(q_x, q_y, 0)|^2}{\sqrt{q_x^2 - \frac{\Delta^2}{v^2}}}. \quad (6)$$

В работе [30] были получены приближенные аналитические выражения этой силы для различных скоростных интервалов динамической области. Далее мы будем анализировать интервал скоростей  $v < v_L$ , где величина характерной скорости  $v_L$  определяется, согласно [30], выражением  $v_L = a\Delta$ . Для случая, когда щель создается коллективным воздействием точечных дефектов, выражение для этой скорости примет вид

$$v_L = a\Delta_d = c \frac{a}{b} (n_{0d} \varepsilon^2)^{1/3} \approx c \frac{a}{l_d}. \quad (7)$$

Сила торможения в этом интервале скоростей, согласно [30], приближенно может быть описана следующим выражением

$$F_L \approx \frac{n_L \mu b_0^2 a c}{(1 - \gamma)^2 \Delta}. \quad (8)$$

Здесь  $\mu$  — модуль сдвига,  $\gamma$  — коэффициент Пуассона. Это и есть сила сухого трения, т.е. сила торможения, не зависящая от величины скорости. Возникновение эффекта сухого трения при торможении движущихся дислокаций дислокационными петлями определяется двумя главными факторами: видом упругого поля дислокационных петель и наличием щели в спектре колебаний движущейся дислокации. Величина щели должна быть такой, чтобы выполнялось условие  $v < v_L$ , но при этом скорость дислокационного скольжения должна попадать в область динамического торможения, т.е. должны быть справедливы неравенства

$$10^{-2} c < v < v_L = a\Delta. \quad (9)$$

Таким образом, для возникновения эффекта сухого трения существенным являются наличие и величина спектральной щели, происхождение же этой щели принципиального значения не имеет. В работе [30] щель возникала в результате коллективного взаимодействия точечных дефектов с движущейся краевой дислокацией и имела вид, определяемый формулой (5). Сама же сила динамического торможения в этом случае после несложных преобразований может быть описана выражением

$$F_L = \frac{n_L \mu b b_0^2 a}{(1 - \gamma)^2 (n_{0d} \varepsilon^2)^{1/3}} \approx \frac{n_L \mu b_0^2 a l_d}{(1 - \gamma)^2}. \quad (10)$$

Как следует из полученного выражения, сила динамического торможения краевой дислокации призматическими

петлями в исследуемой области скоростей зависит не только от концентрации петель, но и от концентрации точечных дефектов: увеличение концентрации этих дефектов приводит к увеличению размеров спектральной щели, а следовательно, к уменьшению силы торможения дислокации петлями.

Выполним численные оценки, чтобы убедиться, что исследуемые нами скорости не выходят за границы динамической области. Для типичных значений  $\varepsilon \approx 10^{-1}$ ,  $a \approx 10b$ ,  $b \approx 3 \cdot 10^{-10}$  м,  $c \approx 3 \cdot 10^3$  м/с и  $n_{0d} \approx 10^{-4}$  получим  $v_L \approx 10^{-1} c \approx 300$  м/с, т.е. скорости  $v < v_L$ , при которых возникает эффект сухого трения, находятся в динамическом скоростном интервале. Если же размер петель  $a \approx 100b$ , то при той же концентрации точечных дефектов получим  $v_L \approx c$ , т.е. возникновение данного эффекта становится возможным практически при любых скоростях динамической области.

Итак, как было отмечено выше, для реализации эффекта сухого трения необходимо наличие щели в спектре дислокационных колебаний. Эта щель может возникнуть, в частности, благодаря взаимодействию дислокаций, составляющих подвижную дислокационную пару. Зарождение и движение таких пар весьма характерно для стадии легкого скольжения, особенно при больших деформациях или при локальном действии изгибающих моментов [20]. Колебательный спектр дислокаций, образующих пару, был получен в работе [34]. Возникающая в дислокационном спектре щель в этом случае имеет вид

$$\Delta = \Delta_{\text{dis}} = \frac{b}{d} \sqrt{\frac{M}{m}} = \frac{c}{d} \sqrt{\frac{2}{\ln(D/l_{\text{dis}})}} \approx \frac{c}{d};$$

$$M = \frac{\mu}{2\pi(1 - \gamma)}, \quad (11)$$

где  $l_{\text{dis}}$  — длина дислокации,  $D$  — величина порядка размеров кристалла,  $d$  — расстояние между плоскостями скольжения, в которых движутся краевые дислокации, образующие дислокационную пару. При динамическом скольжении такой пары в поле неподвижных дислокационных петель сухое трение может быть реализовано при скоростях  $v < v_L = a\Delta_{\text{dis}} \approx c(a/d)$ . Оценим порядок величины критической скорости  $v_L$  в этом случае. Очевидно, что для  $a \approx d$  получим  $v_L \approx c$ , т.е. возникновение исследуемого эффекта возможно во всей области динамического движения. Для значений  $a \approx 100b$  и  $d \approx 10b$  получим значение скорости  $v_L$ , превышающее скорость звука. Это означает, что условие реализации эффекта  $v < v_L$  также будет выполнено во всем динамическом диапазоне скоростей, а скорость  $v_L$  в этом случае вообще не достижима. Если же  $a \approx 10b$  и  $d \approx 100b$ , получим  $v_L \approx 10^{-1} c$ , т.е. область скоростей, в которой возможен данный эффект, значительно сужается.

Воспользовавшись формулами (8) и (11), получим выражение для силы динамического торможения дислокаций призматическими петлями в рассматриваемом случае

$$F_L = \frac{n_L \mu b_0^2 a d}{(1 - \gamma)^2} \sqrt{\frac{\ln(D/l_{\text{dis}})}{2}} \approx \frac{n_L \mu b_0^2 a d}{(1 - \gamma)^2}. \quad (12)$$

Щель в спектре дислокационных колебаний может возникать также благодаря действию сил изображения при скольжении дислокации параллельно свободной поверхности. Этот случай был детально проанализирован в работе [32], в которой было показано, что движение краевой дислокации параллельно поверхности кристалла в некотором смысле эквивалентно движению пары дислокаций — реальной дислокации и ее изображения. Возникающая в этом случае спектральная щель определяется, согласно [32], выражением

$$\Delta = \Delta_S = \frac{b}{l_S} \sqrt{\frac{M}{2m}} \approx \frac{c}{l_S}. \quad (13)$$

Здесь  $l_S$  — расстояние от свободной поверхности кристалла до плоскости скольжения дислокации. Тогда для силы динамического торможения краевых дислокаций в этом случае получим следующую формулу:

$$F_L = \frac{n_L \mu b_0^2 a l_S}{(1-\gamma)^2} \sqrt{\frac{\ln(D/l_{dis})}{4}} \approx \frac{n_L \mu b_0^2 a l_S}{(1-\gamma)^2}. \quad (14)$$

Обобщая все рассмотренные выше случаи, приходим к выводу, что возникающую в них силу торможения типа сухого трения можно приближенно представить в виде

$$F_L = F_0 \frac{L}{a}; \quad F_0 \approx \frac{n_L \mu b_0^2 a^2}{(1-\gamma)^2}. \quad (15)$$

Здесь  $L$  — характерный масштаб взаимодействия, порождающего спектральную щель. Если щель возникает в результате коллективного взаимодействия точечных дефектов с дислокацией,  $L$  имеет смысл среднего расстояния между дефектами ( $L = l_d$ ); если причиной появления щели является взаимодействие дислокаций, образующих подвижную пару, это расстояние между дислокациями ( $L = d$ ); если же она появляется в результате действия сил изображения, то характерным масштабом является расстояние между поверхностью и плоскостью дислокационного скольжения ( $L = l_S$ ).

Таким образом, проведенный анализ позволяет сделать вывод, что появление щели в спектре дислокационных колебаний приводит к тому, что динамическое торможение краевых дислокаций призматическими дислокационными петлями приобретает характер сухого трения. Его величина определяется как концентрацией и размерами дислокационных петель, так и характерным масштабом взаимодействия, порождающего спектральную щель.

В реальных кристаллах дислокационные петли довольно часто располагаются в параллельных плоскостях. Будем считать эти плоскости эквидистантными (расстояние между ними обозначим  $D_S$ ), а среднюю концентрацию петель в каждой плоскости — примерно одинаковой и равной  $n_S$  (число дислокационных петель, приходящихся на единицу площади). Воспользовавшись результатами работы [29], выражение (15) для силы

сухого трения представим в следующем виде:

$$F_L = F_0 \frac{L}{a}, \quad F_0 \approx \frac{n_S \mu b_0^2 a^4}{D_S^3 (1-\gamma)^2} = \frac{n_{0S} \mu b_0^2 a^2}{D_S^3 (1-\gamma)^2}. \quad (16)$$

Здесь  $n_{0S} = n_S a^2$  — безразмерная концентрация петель на плоскости.

Для численных оценок величины исследуемого эффекта воспользуемся данными работ [29,31,35]. Пусть краевая дислокация движется в кристалле, содержащем дислокационные петли и точечные дефекты. Для типичных значений  $\mu = 5 \cdot 10^{10}$  Па,  $b = 3 \cdot 10^{-10}$  м,  $a = 100b$ ,  $D_S = 30b$ ,  $\gamma = 0.3$ ,  $n_{0S} = 10^{-3}$  получим значение  $F_0 \approx 8 \cdot 10^{-3}$  Н/м. При значении безразмерной концентрации точечных дефектов  $n_0 = 10^{-4}$  среднее расстояние между ними составляет  $L = l_d \approx 20b$ . Тогда сила торможения дислокации петлями примерно равна  $F_L \approx 1 \cdot 10^{-3}$  Н/м. Для сравнения оценим силу торможения дислокации фононами в области комнатных температур. Для типичного значения фоновой константы демпфирования  $B = 10^{-4}$  Па · с и скорости дислокационного скольжения  $v = 10^{-2}c \approx 30$  м/с получим, что сила фоновой торможения дислокации составляет  $F \approx 3 \cdot 10^{-3}$  Н/м. Таким образом, при высокой концентрации петель сила сухого трения по порядку величины сопоставима с силой фоновой торможения дислокаций, которая в области комнатных температур является обычно доминирующей. При повышении скорости дислокационного скольжения влияние исследуемой силы понижается, поскольку сила фоновой торможения пропорциональна скорости, а сила сухого трения от нее не зависит. При понижении температуры роль сухого трения возрастает, поскольку этот механизм диссипации является температурно-независимым, а эффективность фоновых механизмов рассеяния значительно снижается.

Таким образом, эффект сухого трения, обусловленный динамическим взаимодействием дислокаций с дислокационными петлями, способен оказывать существенное влияние на скольжение дислокаций, особенно в области низких температур.

## Список литературы

- [1] В.И. Алышиц, В.Л. Инденбом. УФН **115**, 1 (1975).
- [2] J.H. Cantrell. J. Appl. Phys. **105**, 043 520 (2009).
- [3] Ю.А. Баимова, С.В. Дмитриев, А.А. Назаров, А.И. Пшеничнюк. ФТТ **51**, 1705 (2009).
- [4] А.Ю. Куксин, В.В. Стегайлов, А.В. Янилкин. ДАН **420**, 467 (2008).
- [5] Г.Ф. Сарафанов, В.Н. Перевезенцев. ФТТ **51**, 2309 (2009).
- [6] В.Д. Нацик, В.П. Солдатов, Г.И. Кириченко, Л.Г. Иванченко. ФНТ **35**, 637 (2009).
- [7] Н.В. Исаев, В.Д. Нацик, В.В. Пустовалов, В.С. Фоменко, С.Э. Шумилин. ФНТ **31**, 1177 (2005).
- [8] А.Ю. Куксин, А.В. Янилкин. ДАН **413**, 615 (2007).
- [9] М. Molotskii. Appl. Phys. Lett. **93**, 051 905 (2008).
- [10] Г.И. Канель, В.Е. Фортон, С.В. Разоренов. УФН **177**, 809 (2007).

- [11] В.В. Стегайлов, А.В. Янилкин. *ЖЭТФ* **13**, 1064 (2007).
- [12] D. Batani, H. Stabile, A. Ravasio, G. Lucchini, F. Strati, T. Desai, J. Ullschmied, E. Krouscky, J. Skala, L. Juha, B. Kralikova, M. Pfeifer, Ch. Kadlec, T. Mocek, A. Präg, H. Nishimura, Y. Ochi. *Phys. Rev. E* **68**, 067403 (2003).
- [13] D. Batani, F. Strati, H. Stabile, M. Tomasini, G. Lucchini, A. Ravasio, M. Koenig, A. Benuzzi-Mounaix, H. Nishimura, Y. Ochi, J. Ullschmied, J. Skala, B. Kralikova, M. Pfeifer, Ch. Kadlec, T. Mocek, A. Präg, T. Hall, P. Milani, E. Barborini, P. Piseri. *Phys. Rev. Lett.* **92**, 065503 (2004).
- [14] Y. Wang, Z.-K. Liu, L.-O. Chen, L. Burakovsky, D.L. Preston, W. Luo, B. Johansson, R. Ahuja. *Phys. Rev. B* **71**, 054110 (2005).
- [15] K. Yashiro, M. Konishi, Y. Tomita. *Computational Material Science* **43**, 481 (2008).
- [16] R. Novokshyanov, S. Roberts. *J. Nuclear Mat.* **386**, 64 (2009).
- [17] А.Ю. Кукин, В.В. Стегайлов, А.В. Янилкин. *ФТТ* **50**, 1984 (2008).
- [18] В.Г. Петушков. *Применение взрыва в сварочной технике*. Наук. думка, К. (2005). 775 с.
- [19] В.В. Слезов, А.В. Субботин, О.А. Осмаев. *ФТТ* **47**, 463 (2005).
- [20] Ж. Фридель. *Дислокации*. Мир, М. (1967). 644 с.
- [21] Г.А. Мальгин. *ФТТ* **49**, 961 (2007).
- [22] J. Dundurs, N.J. Salamon. *Phys. Status Solidi B* **50**, 125 (2006).
- [23] V.V. Chaldyshev, A.L. Kolesnikova, N.A. Bert, A.E. Romanov. *J. Appl. Phys.* **97**, 024309 (2005).
- [24] А.Л. Колесникова, А.Е. Романов. *ФТТ* **45**, 1626 (2003).
- [25] Л.И. Миркин. *Физические основы прочности и пластичности*. Изд. МГУ, М. (1968). 540 с.
- [26] Yu.N. Osetsky, D.J. Bacon, Z. Rong, B.N. Singh. *Phil. Mag. Lett.* **84**, 745 (2004).
- [27] Z. Rong, D.J. Bacon, Yu.N. Osetsky. *Mater. Sci. Eng. A* **400**, 378 (2005).
- [28] R.E. Voskoboynikov, Yu.N. Osetsky, D.J. Bacon. *Materials Sci. Eng. A* **400**, 54 (2005).
- [29] В.В. Малашенко. *ФТТ* **50**, 1788 (2008).
- [30] V.V. Malashenko. *Physica B: Phys. Cond. Mat.* **404**, 3890 (2009).
- [31] В.В. Малашенко. *ФТТ* **49**, 78 (2007).
- [32] В.В. Малашенко. *ФТТ* **51**, 703 (2009).
- [33] V.V. Malashenko. *Modern Phys. Lett. B.* **23**, 2041 (2009).
- [34] В.В. Малашенко. *ФТТ* **48**, 433 (2006).
- [35] Ф.Ф. Сатдарова. *Кристаллография* **50**, 472 (2005).